

Frequency response technique

ในบทนี้เราจะศึกษาถึงผลการตอบสนองของระบบต่ออินพุตที่เป็นสัญญาณไซน์(sinusoidal) หรือเรียกว่าเป็นการศึกษาในโดเมนความถี่(Frequency domain) การหาผลตอบสนองของระบบในโดเมนความถี่ จะทำการเปลี่ยนแปลงค่าความถี่ของสัญญาณอินพุตในช่วงความถี่หนึ่ง แล้วนำผลตอบสนองของระบบในช่วงความถี่นั้นมาทำการวิเคราะห์ต่อไป

ประโยชน์ของการศึกษาวิธีหาผลตอบสนองในโดเมนความถี่มีดังนี้

1. การตรวจสอบหาเสถียรภาพของระบบปิดไม่จำเป็นต้องดูตำแหน่งโพลของระบบปิด หรือ แก๊สมการคุณลักษณะเพื่อหาตำแหน่งรากของสมการ
2. สามารถตรวจสอบผลตอบสนองต่อความถี่ของระบบได้ง่าย โดยการป้อนสัญญาณอินพุตเป็นสัญญาณไซน์จากเครื่องกำเนิดสัญญาณแล้ว วัดผลการตอบสนองต่อความถี่นั้นของระบบ
3. ระบบควบคุมบางชนิดที่มีความซับซ้อน อาจจะใช้วิธีการตรวจสอบโดยการทดสอบผลตอบสนองต่อความถี่ เพื่อหาฟังก์ชันถ่ายโอน(Transfer function)
4. การหาผลตอบสนองต่อความถี่สามารถ นำมาใช้วิเคราะห์ฟังก์ชันที่ไม่ได้อยู่ในรูปอัตราส่วนได้ เช่น ระบบที่เคลื่อนที่ช้า (transport lag)
5. วิธีหาผลตอบสนองต่อความถี่สามารถใช้กับระบบที่มีลักษณะที่ไม่แน่นอน
6. การออกแบบและวิเคราะห์ผลตอบสนองต่อความถี่สามารถใช้กับระบบที่เป็นไม่เป็นเชิงเส้นได้

หลักสำคัญของการตอบสนองเชิงความถี่(Concept of Frequency Response)

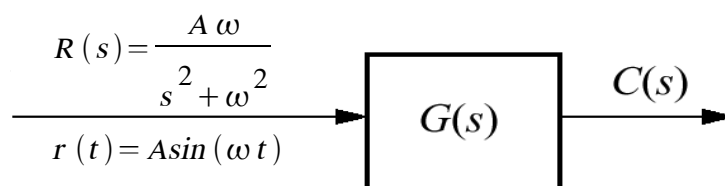
เมื่อให้สัญญาณอินพุตเป็นรูปคลื่นไซน์เข้าไปยังระบบเชิงเส้น(Linear system) ผลการตอบสนองด้านแอมพลิจูดที่สภาวะคงตัว จะเป็นสัญญาณไซน์ที่มีความถี่เดียวกับอินพุต แต่มีขนาด (Amplitude, Gain) และมุม (Phase) ที่แตกต่างจากสัญญาณอินพุต ดังแสดงได้ในสไลด์ที่ 3

การวิเคราะห์รูปแบบสมการของการตอบสนองเชิงความถี่

ระบบที่มี $G(s)$ และมีอินพุตเป็นสัญญาณรูปคลื่นไซน์สามารถแสดงให้อยู่ในรูป

$$r(t) = A \cos(\omega t) + j B \sin(\omega t) \\ = \sqrt{A^2 + B^2} \cos[\omega t - \tan^{-1}(B/A)]$$

เราสามารถที่จะแสดงอินพุตได้ในรูปแบบเชิงขั้ว(Polar) $M \angle \phi$ เมื่อ $M = \sqrt{A^2 + B^2}$ และ $\phi = -\tan^{-1}(B/A)$ ในรูปแบบเชิงมุม $A-jB$ หรือในรูปแบบออยเลอร์(Euler) $Me^{j\phi}$ ผลการตอบสนองของระบบในรูปที่ 1 ต่อสัญญาณอินพุตไซน์



รูปที่ 1

$$C(s) = G(s) A \frac{\omega}{s^2 + \omega^2} \quad \text{เมื่อ} \quad G(s) = \frac{\prod_{i=1}^M (s + z_i)}{\prod_{j=1}^N (s + p_j)}$$

$$G(j\omega) = \frac{\prod_{i=1}^M (z_i + j\omega)}{\prod_{j=1}^N (p_j + j\omega)} = |G(j\omega)| e^{j\phi}$$

$$\phi = \arctan \left(\frac{\Im[G(j\omega)]}{\Re[G(j\omega)]} \right)$$

$$\frac{\omega A}{s^2 + \omega^2} G(s) = \frac{a_1}{s + j\omega} + \frac{a_2}{s - j\omega} + \dots$$

$$a_1 = \left[\frac{\omega A}{s - j\omega} \right]_{(s = -j\omega)} = \frac{-A}{2j} G(-j\omega)$$

$$a_2 = \left[\frac{\omega A}{s + j\omega} \right]_{(s = j\omega)} = \frac{A}{2j} G(j\omega)$$

$$C(s) = -\frac{A}{2j} \frac{1}{s + j\omega} G(-j\omega) + \frac{A}{2j} \frac{1}{s - j\omega} G(j\omega)$$

$$G(j\omega) = |G(j\omega)| e^{j\phi}$$

$$G(-j\omega) = |G(-j\omega)| e^{-j\phi} = |G(j\omega)| e^{-j\phi}$$

$$c(t) = A |G(j\omega)| \left(\frac{e^{j(\omega t + \phi)} - e^{-j(\omega t + \phi)}}{2j} \right) = A |G(j\omega)| \sin(\omega t + \phi)$$

จากสมการจะเห็นได้ว่าเอาต์พุตของระบบเชิงเส้น (Linear system) จะมีขนาด(Gain) และ มุมเฟสที่เปลี่ยนไปจากอินพุต ดังนั้นการศึกษาถึงการตอบสนองของระบบในโดเมนความถี่ จะเป็น ศึกษาขนาดและมุมของเอาต์พุตระบบเมื่อขนาดของสัญญาณอินพุตขายนั่นคงที่และความถี่ของ สัญญาณเปลี่ยนไป

Bode diagram

เป็นการแยกพล็อตขนาด(magnitude or gain) ในสเกล log และ มุม(phase) กับความถี่ ในสเกล log(log ω) โดยแกนตั้งเป็นขนาดมีหน่วยเป็นดีบี($\text{dB}=20\log|G(s)|$) และมุมเฟสมีหน่วยเป็น degree หรือ radian และแกนนอนเป็น log ω บนกระดาษ semi-log นักศึกษาสามารถดูวิธีการคำนวณค่า dB และมุมจากทรานสเฟอร์ฟังก์ชัน(Transfer function) (สไลด์ที่ 9-12) กำหนดให้

$$G(s) = \frac{K \prod_{i=1}^M (s + z_i)}{s^k \prod_{j=1}^N (s + p_j)}$$

Gain diagram

$$\text{dB} = 20 \log |G(j\omega)|$$

$$|G(j\omega)| = \frac{K |j\omega + z_1| \dots |j\omega + z_M|}{|(j\omega)^k| |j\omega + p_1| \dots |j\omega + p_N|}$$

$$\begin{aligned} \text{dB} = & 20\log(K) + 20\log\sqrt{z_1^2 + \omega^2} + \dots + 20\log\sqrt{z_M^2 + \omega^2} \\ & - 20\log\omega^k - 20\log\sqrt{p_1^2 + \omega^2} - \dots - 20\log\sqrt{p_N^2 + \omega^2} \end{aligned}$$

Phase Diagram

$$\begin{aligned} \angle G(j\omega) = & \angle(j\omega + z_1) + \dots + \angle(j\omega + z_M) \\ & - \angle(j\omega + p_1) - \dots - \angle(j\omega + p_N) \end{aligned}$$

เมื่อ

$$\phi_1 = \angle(s + z_1) = \arctan\left(\frac{j\omega}{z_1}\right) \quad \dots \quad \phi_M = \angle(s + z_M) = \arctan\left(\frac{j\omega}{z_M}\right)$$

$$\theta_1 = \angle(s + p_1) = \arctan\left(\frac{j\omega}{p_1}\right) \quad \dots \quad \theta_N = \angle(s + p_N) = \arctan\left(\frac{j\omega}{p_N}\right)$$

Asymptotic approximation

เราสามารถทำการพล็อต Bode โดยคร่าวๆ ได้วิธีการพล็อตสามารถดูได้จากสไลด์ที่ 15

$$G(s) = s + a \qquad G(j\omega) = j\omega + a = a \left(j\frac{\omega}{a} + 1 \right)$$

low frequency

$$\omega \ll a \quad G(j\omega) = a \quad \text{dB} = 20 \log a$$

high frequency

$$\omega \gg a \quad G(j\omega) = a \left(j\frac{\omega}{a} \right) = \omega \angle 90^\circ \quad \text{dB} = 20 \log \omega$$

Bode diagram แสดงไว้ในสไลด์ที่ 15-16

ในสไลด์ที่ 17 แสดง asymptotic approximation ของระบบ

$$G(s) = s$$

$$G(s) = \frac{1}{s}$$

$$G(s) = s + a$$

$$G(s) = \frac{1}{s + a}$$

หลักการพล็อตเหมือนที่แสดงไว้ด้านบน

Nyquist plot(Polar plot)

เป็นการพล็อตระหว่างขนาดและมุมของ $G(j\omega)$ บน complex plane($G(j\omega)$ -plane) เมื่อ ω เปลี่ยนจาก 0 ถึง ∞ ในการพล็อตจะพล็อตขนาดและมุมพร้อมระบุความถี่ที่ใช้ในการคำนวณดัง สไลด์ที่ 28-29

สไลด์ที่ 30 แสดง Nyquist plot ของ $G(s) = 1 + Ts$

$$\text{สไลด์ที่ 32-33 แสดง Nyquist plot ของ } G(s) = \frac{\omega_n^2}{s^2 + 2\zeta\omega_n s + \omega_n^2} \quad \text{ซึ่งแสดงให้เห็นถึง overshoot ของระบบ}$$

ในกรณีที่ระบบมี integrator 1 ตัว nyquist plot แสดงได้ดังสไลด์ที่ 34 สำหรับระบบทั่วไป เราสามารถแสดง Nyquist plot โดยคร่าวๆ ได้ดังสไลด์ที่ 36-37

Nyquist Criterion

เป็นการหาความสัมพันธ์ระหว่างความเสถียรของระบบปิด(close loop system) และการตอบสนองต่อความถี่ของระบบเปิด ซึ่งทำให้เราสามารถหาความเสถียรของระบบปิดได้เมื่อเราทราบการตอบสนองต่อความถี่ของระบบเปิด

ในการทำความเข้าใจใน Nyquist Criterion นักศึกษาจะต้องเข้าใจความสัมพันธ์ดังนี้

1 pole ของ characteristic equation $1+G(s)H(s)$ เหมือนกับ pole ของ $G(s)H(s)$ (open-loop system)

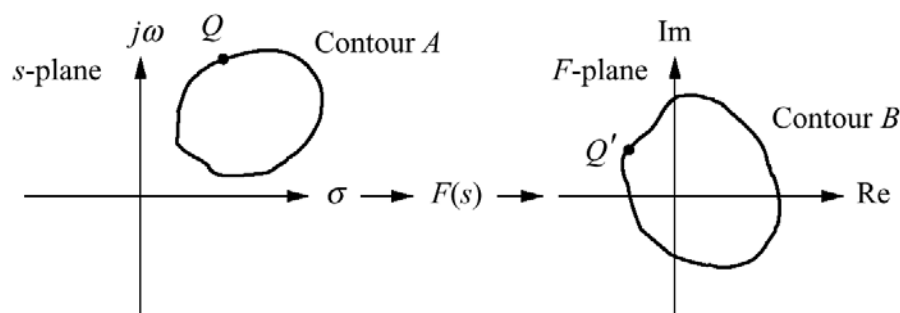
2 zero ของ $1+G(s)H(s)$ เป็น pole ของ $T(s)$ (close-loop system)

3 Mapping point

ถ้าเรานำเอาจำนวนเชิงซ้อนค่าหนึ่งบน s-plane แทนลงในฟังก์ชัน $F(s)$ เราจะได้คำตอบเป็นจำนวนเชิงซ้อนค่าหนึ่งใน $F(j\omega)$ -plane เราเรียกว่า mapping

4 Mapping contour

เป็นการนำเอาแต่ละค่าบน contour A ใน s-plane แทนลงในฟังก์ชัน $F(s)$ เราจะได้ contour B ใน $G(s)$ -plane ดังรูปที่ 2



รูปที่ 2

หลักการของ Nyquist ได้แสดงไว้ในสไลด์ที่ 44 กฎในการตรวจสอบความเสถียรแสดงไว้ในสไลด์ที่ 48-49

Gain margin and Phase margin

Gain margin, G_m , คือการเปลี่ยนของขนาด(dB) ของระบบเปิด(open-loop system) ที่มุม 180 องศา ที่ทำให้ระบบปิด(close-loop system) ไม่เสถียร

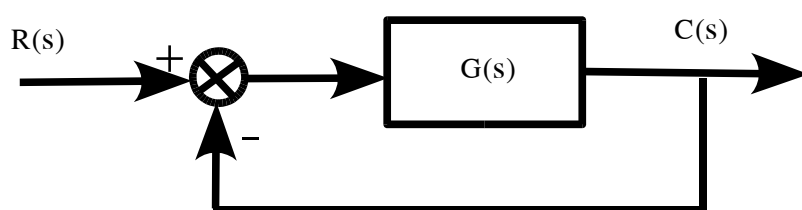
Phase margin, ϕ_M , คือการเปลี่ยนของมุม ของระบบเปิด(open-loop system) ที่ขนาดมีค่า 1 หน่วย ที่ทำให้ระบบปิด(close-loop system) ไม่เสถียร

Relation between Closed-loop and Open-loop frequency response

เราจะเห็นว่าการหาการตอบสนองต่อความถี่ของระบบปิดนั้นไม่ได้ง่าย จากที่ผ่านมามาดูจะเห็นว่า การร่างผลการตอบสนองความถี่ของระบบเปิดสามารถทำได้อย่างรวดเร็ว ถ้าเราสามารถหาความสัมพันธ์ของระบบเปิดกับระบบปิดได้ เราก็จะสามารถร่างผลการตอบสนองของระบบปิดโดยการหาการตอบสนองของระบบเปิดได้

Constant M cycles and Constant N cycles

เป็นการหาความสัมพันธ์ของระบบปิดที่มีการป้อนกลับหนึ่งหน่วย(Unity feedback system) (รูปที่ 3, $T(s)$) กับระบบเปิด($G(s)$)



รูปที่ 3

$$T(s) = \frac{G(s)}{1 + G(s)}$$

จากการพิสูจน์ในสไลด์ที่ 63-66 เราได้ความสัมพันธ์ของระบบปิดบนระบบเปิดในรูปของขนาด (M circle) และมุม(N circle) ซึ่งสามารถนำไปวาดเป็นกราฟบน G-plane ดังสไลด์ที่ 67

Nichols Chart

เป็นการแสดงความสัมพันธ์ของ M circles และ N circles ใหม่ โดยนำเอาขนาดมาพล็อตเป็น dB ซึ่งทำให้เราสามารถใช้หลักการของ bode diagram ในการทำงานได้ ลักษณะของ Nichols chart แสดงไว้ในสไลด์ที่ 69